

PACS: 61.46.+w, 85.42.+m

Д.В. Батов¹, В.Д. Бланк¹, Е.В. Поляков¹, Б.А. Кульницкий¹, Б.К. Джу²

УГЛЕРОД-АЗОТНЫЕ НАНОТРУБКИ, ПОЛУЧЕННЫЕ В ГАЗОСТАТЕ, И ИХ ПРИМЕНЕНИЕ В КАЧЕСТВЕ ХОЛОДНЫХ КАТОДОВ

¹ФГУ «ТИСНУМ»

ул. Центральная, 7а, г. Троицк, 142190, Московская обл., Россия

²Корейский институт науки и технологий

131, Cheongriang, Seoul, 130-650, Korea

E-mail: batov@isan.troitsk.ru, dvbatov@mail.ru

Исследованы углерод-азотные (CN) нановолокна, синтезированные в газостате. Диаметр нановолокон 100–150 нм. Содержание азота вnanoструктурах, определенное методом спектроскопии потерь энергии электронов (EELS), составляет до 13%. При измерении эмиссионных характеристик CN-nanoструктур показали пороговую напряженность поля 1.4 V/μm, что является лучшим результатом для CN-nanoструктур и совпадает с лучшими значениями для углеродных нанотрубок. При проведении испытаний на долговременную стабильность падение эмиссионного тока за 100 h непрерывной работы составило менее 10%.

Углеродные nanoструктуры, и в частности углеродные нанотрубы, впервые исследованные Ииджимой в 1991 г. [1], являются аллотропной формой углерода, характеризующейся высокой степенью кривизны боковой поверхности, хорошей химической стабильностью, механической прочностью и малой работой выхода. Они привлекают внимание исследователей как материал для изготовления острийных катодов в светоизлучающих элементах [2]. Углеродные нанотрубы и другие nanoструктуры способны давать высокую (до 1 A/cm²) плотность тока эмиссии при низкой (< 5 V/μm) напряженности поля. При этом такие показатели наблюдаются не только у чисто углеродных nanoструктур, но и в случае CN-nаноматериалов. В [3] приводятся данные, что CN-нанотрубы диаметром менее 50 nm, полученные методом плазмохимического осаждения из газовой фазы с горячей нитью (Hot Filament Plasma enhanced CVD), имели пороговую напряженность поля для возникновения эмиссии ниже 3 V/μm.

В представленной работе мы получали CN-nanoструктуры в газостате и исследовали их эмиссионные свойства.

CN-nanoструктуры (нанотрубы и нановолокна) синтезировали в газостате с использованием в качестве газовой среды азота или смеси азот–argon при общем давлении в системе 75 МПа. В качестве источника углерода применяли графито-

вый нагреватель. Детальное описание процесса синтеза CN-наноструктур приведено в [4,5]. Полученный осадок исследовали методами просвечивающей электронной микроскопии (ПЭМ), сканирующей ПЭМ с использованием установок JEM-20CX, CM20 Philips TEM, VG 601 UX STEM и Hitachi S-4300. Также изучали ИК-спектры наноматериалов на фурье-спектрометре Brucker IFS-113.

Для исследования эмиссионных свойств CN-наноструктур на пластину из натрового стекла наносили слой хрома. Катодную поверхность на основе CN-наноструктур создавали впечатыванием (вдавливанием) последних в слой хрома. Анодом служило стекло, покрытое пленкой из смеси оксидов индия и олова с нанесенным люминофором (зеленый фосфор). Измерения эмиссионных свойств проводили в вакуумной камере при давлении 10^{-9} МПа. В качестве источника постоянного тока использовали установку производства «F.u.G. Electronic». Эмиссионные характеристики CN-наноструктур измеряли при 300 К.

Исследования методом растровой электронной микроскопии (РЭМ) показали, что исходный CN-наноматериал представляет собой войлокоподобную массу, состоящую из нанотрубок и нановолокон со случайной ориентацией. Диаметр наноструктур находится в пределах 100–150 нм, длина каждого нановолокна (нанотрубки) – более 10 μm (рис. 1). Увеличение парциального давления азота в системе при неизменности величины общего давления приводило к усилению морфологических различий наноструктур в осадке. Это может объясняться усилением конвекции в результате изменения газодинамических параметров газовой среды, что может приводить к увеличению массопереноса и флуктуаций температуры в зоне роста CN-наноструктур.

При изучении CN-наноструктур на просвечивающем электронном микроскопе было установлено, что в полученном материале присутствуют бамбукоподобные нановолокна с равномерно расположеными внутренними перегородками (BL), бусоподобные наноструктуры (BdL), нанотрубки с тонкими внутренними стенками и нановолокна с тонкими, не полностью сформировавшимися стенками (Cor-трубки) (рис. 2). Исследования методом EELS показали, что содержание азота в наноструктурах различно и составляет 3–4% в BL-волокнах, до 8.5% – в BdL-волокнах и до 13% – в Cor-трубках.

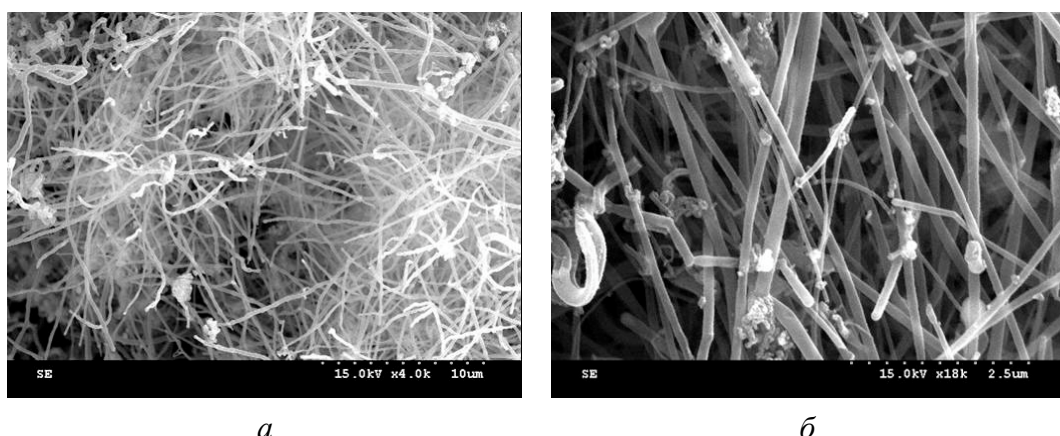


Рис. 1. РЭМ-изображения CN-наноматериала: *α* – $\times 4000$, *β* – $\times 18000$

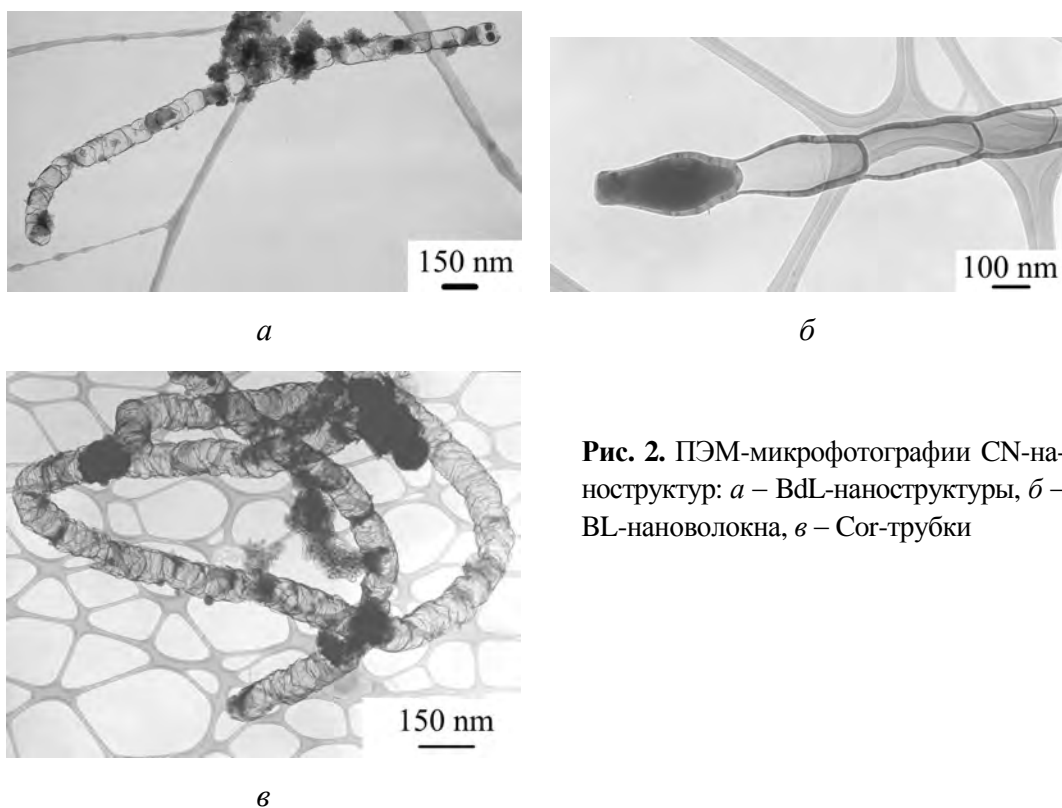


Рис. 2. ПЭМ-микрофотографии CN-nanoструктур: *а* – BdL-nanoструктуры, *б* – BL-нановолокна, *в* – Cor-трубки

ИК-спектр CN-наноматериала представлен на рис. 3. Видно, что в наноматериале превалируют одиночные C–N-связи. Полоса в области 1100 cm^{-1} обычно относится исследователями к вибрационной составляющей одиночной C–N-связи [6]. Имеются публикации [7], что наличие в материале преобладающего количества одиночных C–N-связей по сравнению с двойными и тройными может быть благоприятно для эмиссионных свойств материала.

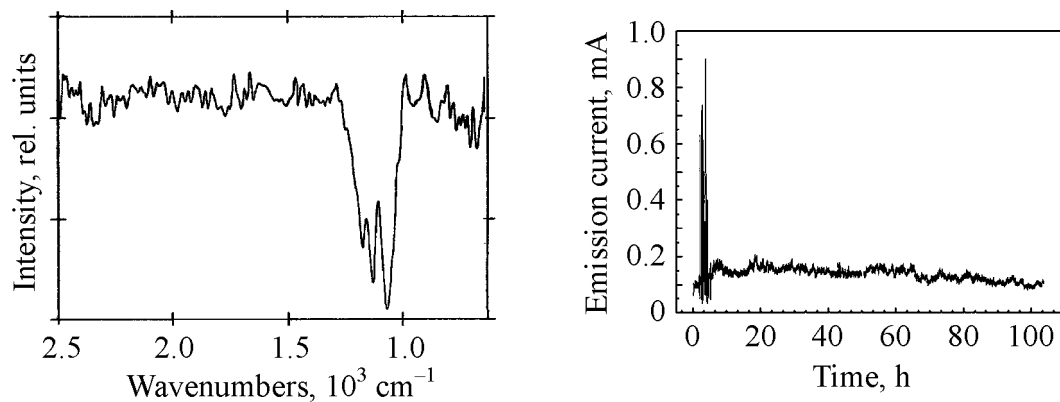


Рис. 3. ИК-спектр CN-наноматериала

Рис. 4. Долговременная стабильность эмиссионного тока катода из CN-нанотрубок (ускоряющее напряжение 1500 V)

При изучении эмиссионных характеристик CN-nanoструктур определяли пороговую напряженность поля для возникновения эмиссии и долговременную стабильность эмиссионного тока для катода с CN-nanoструктурами. Пороговая напряженность поля, измеренная при расстоянии катод–анод 300; 500; 700 и 900 μm , составила соответственно 1.56; 1.48; 1.2 и 1.44 V/ μm .

Долговременную стабильность эмиссионного тока CN-nanoструктур изучали при давлении 10^{-9} MPa, расстоянии катод–анод 700 μm при постоянной напряженности поля 1.36 V/ μm в течение 103 h (рис. 4). Светоизлучающий элемент с диагональю 2.5 см светился равномерно по всей поверхности при эмиссионном токе 100–200 μA . Флуктуации эмиссионного тока на начальном участке могут быть связаны с влиянием резкого приложения электрического поля. В дальнейшем, как видно из рис. 4, CN-нановолокна показывают хорошую стабильность эмиссионных характеристик, и флуктуации тока эмиссии при 200 μA составляют не более 10% за весь период измерения.

Ранее [8] сообщалось, что пороговая напряженность поля для углеродных нанотрубок, выращенных на натровом стекле, составляет 3.4–3.6 V/ μm . Наши результаты показывают, что CN-nanoструктуры имеют более высокие эмиссионные характеристики по сравнению с углеродными нанотрубками. Такое различие в величине прикладываемого поля может быть результатом наличия дефектных участков в структуре CN-нанотрубок и нановолокон [9]. В случае углеродных нанотрубок эмиссия электронов обычно происходит с вершины нанотрубки [10]. Однако в случае CN-nanoструктур мы полагаем, что, помимо эмиссии электронов с вершин нанотрубок и нановолокон, эмиссия происходит также и с дефектов на боковых стенках CN-nanoструктур аналогично [11].

Выводы

Исследованы эмиссионные характеристики CN-нановолокна, синтезированных в газостате. По результатам EELS содержание азота в nanoструктурах составляет до 13%. При измерении эмиссионных характеристик CN-nanoструктуры показали пороговую напряженность поля 1.4 V/ μm , что является одним из лучших результатов для CN-nanoструктур. Светоизлучающий элемент с размером диагонали 1 in с использованием катода с CN-nanoструктурами при испытании на долговременную стабильность эмиссионных показателей продемонстрировал падение тока эмиссии не более 10% за 100 h тестирования.

1. *S. Iijima*, Nature (London) **354**, 6438, 56 (1991).
2. *M. Hirakaw, S. Sonoda, C. Tanaka, H. Murakami, H. Yamakawa*, Applied Surface Science **169–170**, 662 (2001).
3. *R. Kurt, J.M. Bonard, A. Karimi*, Thin Solid Films **398–399**, 193 (2001).
4. *V.D. Blank, I.G. Gorlova, J.L. Hutchison, N.A. Kiselev, A.B. Ormont, E.V. Polyakov, J. Sloan, D.N. Zakharov, S.G. Zybtsev*, Carbon **38**, 1217 (2000).

5. V.D. Blank, E.V. Polyakov, D.V. Batov, B.A. Kulnitskiy, U. Bangert, A. Gutierrez-Sosa, A.J. Harvey, A. Seepujak, Diamond and Related Materials **12**, 864 (2003).
6. Z.J. Zhang, S. Fan, C.M. Lieber, Appl. Phys. Lett. **56**, 2582 (1995).
7. Y.K. Yap, K. Sida, Y. Wada, M. Yoshimura, Y. Mori, T. Sasaki, Diamond and Related Materials **9**, 1228 (2000).
8. Y.D. Lee, D.J. Lee, Y.H. Lee, J.E. Yoo, J.H. Park, B.C. Kim, B.K. Ju, Proc. IDW'2002, December 4–6, 2002, Hiroshima, Japan, p. 1093.
9. M. Terrones, H. Terrones, N. Grobert, W.K. Hsu, Y.Q. Zhu, J.P. Hare, W. Kroto, D.R.M. Walton, Ph. Kohler-Redlich, M. Rühle, J.P. Zhang, A.K. Chaatham, Appl. Phys. Lett. **75**, 3932 (1999).
10. N. Jiang, R. Koie, T. Inaoka, Y. Shintani, K. Nishimura, A. Hiraki, Appl. Phys. Lett. **81**, 526 (2002).
11. D.Y. Zhong, G.Y. Zhang, S. Liu, T. Sakurai, E.G. Wang, Appl. Phys. Lett. **80**, 506 (2002).

D.V. Batov, V.D. Blank, E.V. Polyakov, B.A. Kulnitsky, B.K. Ju

CARBON-NITROGEN NANOTUBES FORMED IN GASOSTAT AND THEIR UTILIZATION AS COLD CATHODES

The carbon-nitrogen (CN) nanofibers formed by HIP processes have been investigated. Diameter of nanofibers was 100–150 nm. Nitrogen content of nanostructures determined by the EELS method equals to 13%. The turn-on fields were about 1.4 V/ μ m, this is the best result for the CN nanostructures fitting well the better values for carbon nanotubes. The time reliability and light emission tests were carried out for above 100 h and the current fluctuation was found to be less than 10%.

Fig. 1. SEM images of CN nanostructures: $a - \times 4000$, $\delta - \times 18000$

Fig. 2. TEM images of CN nanostructures: a – beads-like nanotubes, δ – bamboo-like nanofibers, ϵ – nanotubes with strongly corrugated walls

Fig. 3. IR-spectrum of CN nanostructures

Fig. 4. Field emission lifetime (I vs time) of CN nanofibers tested with applied voltage of 1500 V